

# Snímací obvody CCD

Tímto článkem volně navazujeme na článek o principech digitální fotografie z minulého Fontu. Pojďme v něm o technických detailech nezbytných k proniknutí do nitra digitální fotografie.

Snímací obvod je rozhraním, na kterém začíná digitální fotografie, protože vytvoření obrazu zůstává doménou fotografické práce, nelišící se od snímání na jiná zobrazovací media. Jeho konstrukce určuje odlišné vlastnosti záznamu a zpracování obrazové informace, rozšiřující výrazně možnosti využití fotografie. Tak jako musí fotograf znát vlastnosti fotografické citlivé vrstvy, měl by být digitální fotograf seznámen s postupy, jakými se mění obraz na elektrický signál ve snímacím obvodu CCD a vlivy této přeměny a jejích podmínek na kvalitu zobrazení. Tento požadavek podmiňuje možnost zpracování získaného obrazového signálu, pro které je nutná hlubší znalost vztahu výsledného obrazu a charakteristik zobrazení. Kvalita snímacích obvodů již umožňuje nahradit obraz, získaný fotochemicky, obrazem pořízeným digitálním záznamem.

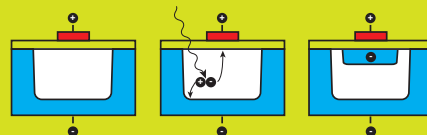
První obvody CCD (Charge Coupled Devices – obvody vázané nábojem) vznikaly koncem 60-tých let jako posuvné a paměťové registry pro výpočetní techniku, teprve později bylo využito k formování náboje na jednotlivých elementech obvodu fotodiody a vznikl snímací obvod CCD. Název prvních typů BBD (Bucket Brigade Devices), ukazuje princip přenosu dat v registru. „Bucket Brigade“ je řada hasičů, předávajících si nádobu s vodou od zdroje k místu požáru. To vystihuje princip přenosu nábojů i uvnitř obvodů CCD. Snímací obvody CCD se liší od ryze posuvných soustav tím, že náboj je generován do každého prvku soustavy vloženou fotodiódou.

Ve fotodiódě (obr. 1) se uvolňuje dopadem fotonu v okolí zpětně předpjatého přechodu p-n elektron, který je přitahován ke kladné elektrodě, kde se akumuluje jako náboj, úměrný dopadlé světelné energii. Náboj z fotodiody se převede do elementu posuvného registru (obr. 2), kde přiložené napětí vytváří potenciálovou jámu, do které se elektrony ukládají. Skutečný řez obvodem (obr. 3) ukazuje složitost soustavy, která svědčí i o složitosti technologie obvodů CCD. Posuv nábojů při jejich vyvádění z obvodu se zajišťuje trojitou soustavou elektrod (obr. 4), na které se přivádí vhodně tvarované napětí. Tím vznikají postupně posunuté potenciálové jámy, do kterých se náboje přelévají a tak postupují od jednoho elementu snímacího obvodu k druhému. Nesmí při tom docházet ke ztrátám, neboť náboj je analogovým modelem obrazu, který je úrovnově digitalizován až na výstupu v analogově-digitálním převodníku. Teprve digitalizovaný signál je odolný proti poruchám.

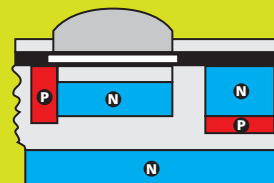
Objem potenciálové jámy je omezen a proto po jejím „naplnění“ nemůže být další signál akumulován, obraz je v tomto místě nasycen (bílý). Přebytečné elektrody mohou přetékat do sousedních elementů (tzv. blooming – obr. 5), který vede k nežádoucímu zvýšení jasů sousedních elementů („rozzáření“), může poškodit i barevné podání. Jednou z obran je zapojení, které svádí nadbytečný náboj tak, aby nepronikal do sousedních prvků. Tím se ovšem nezabrání přesvětlení v obrazu, vytvářející někdy nepřírodně světlá místa. K omezení tohoto jevu přispívá i elektronická závěrka (obr. 6), která vhodným časovým připojením napětí řídí dobu, po kterou se náboj akumuluje. Ten pak nemůže překročit přípustnou mez.

Zobrazení předpokládá přeměnu osvětlení jednotlivých míst obrazu (jasu snímaného objektu) na úměrný signál zobrazený v ideálním případě jako lineární závislost pro obě souřadnice, vynášené v logaritmické stupnici (obr. 7). Počet elektronů, omezující maximální náboj závisí na ploše snímacího obvodu a pohybuje se kolem 10<sup>5</sup>, na dolním konci je signál omezen šumem. Ten vzniká ve všech elektronických obvodech v podstatě v důsledku tepelného pohybu elektronů. Proto je možno úroveň šumu snížit ochlazením snímacího obvodu. Za normální teploty se počet „šumových“ elektronů pohybuje kolem několika desítek. Úroveň signálu musí úroveň šumu několikrát překračovat, aby se vliv šumu škodlivě neprojevoval. Úroveň šumu může být různá u jednotlivých RGB barev, protože základní citlivost obvodu (obr. 12) je vyšší v zelené a červené oblasti než v modré. Proto v praxi u mozaikových digitálních fotoaparátů vzniká v modrém kanálu nepřijatelný šum.

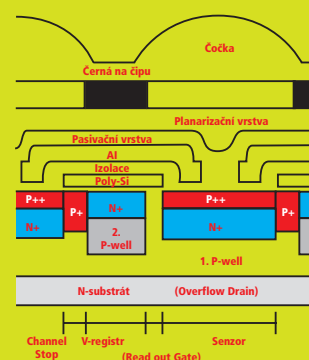
Senzitometrická charakteristika snímacího obvodu probíhá mezi těmito dvěma extrémními stavy. Její linearity lze dosahovat elektronickou opravou průběhu. Překročili-li signál na dolním konci charakteristiky šum například 7-krát (tj. 350 elektronů), pak je při mezním možném počtu elektronů 90 000 celkový rozsah 257, což odpovídá rozsahu 2<sup>8</sup> = 256. Zvýšení rozsahu lze dosahovat zvětšením úrovně maximálního signálu (větší plocha elementu snímacího obvodu) nebo snížením šumu (např. chlazením), případně připuštěním určité degradace obrazu šumem. Elektronické zesílení úrovně signálu vede i k zesílení úrovně šumu. „Fotografická šíře“ snímacího obvodu CCD je tedy ve srovnání s fotografickými vrstvami nižší, proto je nutno pracovat s přesnou expozicí.



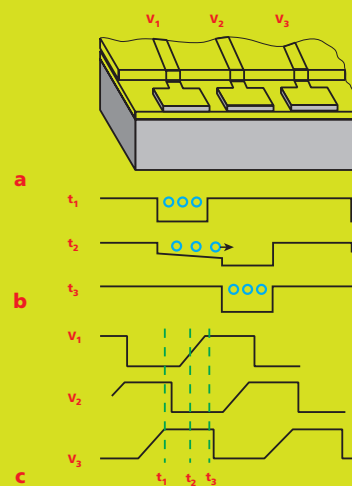
Obr. 1. Schema funkce fotodiody: přiložené napětí polarizuje fotodiodu (vlevo), dopad záření uvolní elektron (uprostřed), elektrony se akumulují u kladného pólu (vpravo).



Obr. 2. Schematický řez elementem snímacího obvodu CCD: vlevo fotodioda s čočkou, vpravo část posuvného registru, ve které se akumuluje náboj elektronů, převedený z fotodiody.

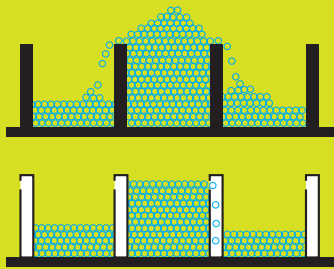


Obr. 3. Řez obvodem ukazuje složitost konstrukce obvodu CCD.

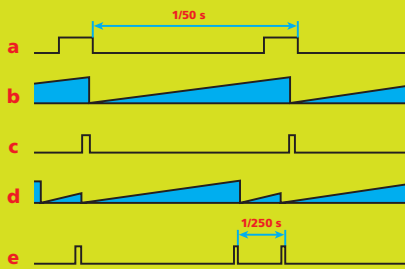


Obr. 4. Schéma přenosu nábojů soustavou elektrod V1-V3 (a), pod kterými vznikají postupně potenciálové jámy, zobrazené v časech t1-t3 (b), v důsledku změny napětí na elektrodách V1-V3 (c).

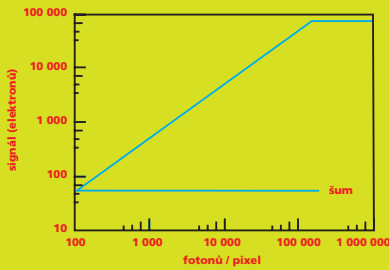
Velikost elementu snímacího obvodu má tedy významný vliv na jeho vlastnosti. Tato velikost je určena rozměry obvodu a počtem snímacích elementů. Rozměry obvodu se udávají podle analogie se snímacími televizními elektronkami tzv. montážním průměrem v palcích, který však nemá přímý vztah k velikosti plochy obvodu (obr. 8). Snaha zmenšovat velikost obvodu (z technologických důvodů) a růst počtu snímacích



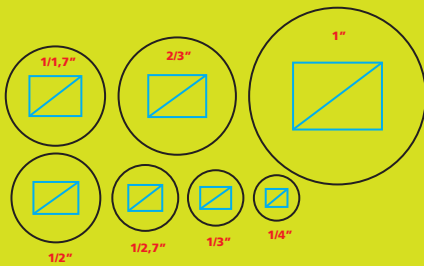
Obr. 5. Přetékání (blooming) náboje do sousedních elementů, kterému se lze bránit odvodem přebytečného náboje.



Obr. 6. Elektronická závěrka (pro snímač video): v době pulsů (a) se akumuluje náboj pod snímacími elementy (b), ukončení cyklu je řízeno impulzy (c); v elektronické závěrce se doba akumulace omezí (d) pomocnými impulzy (e).

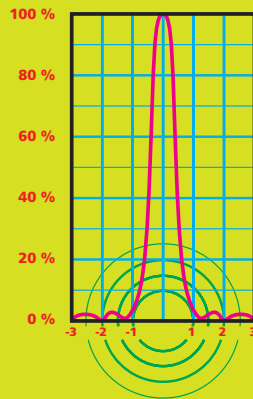


Obr. 7. Zjednodušená charakteristická křivka snímacího obvodu, omezená, na dolním konci šumem, na horním vyplněním potenciálové jámy.

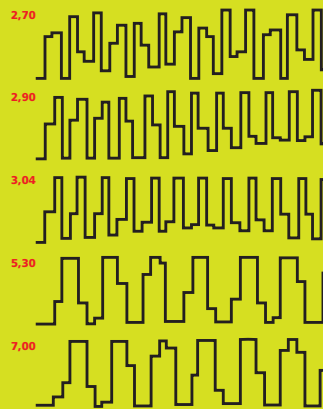


Obr. 8. Rozměry snímacích obvodů pro jednotlivé „montážní“ průměry, udávané jako charakteristický rozměr obvodu.

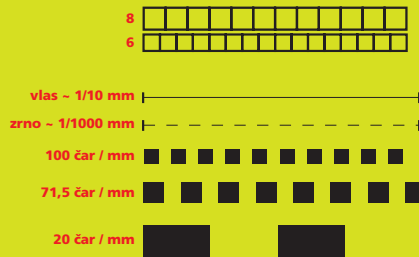
obvodů vede ke snižování jejich rozměru. Tento trend má sice technologickou mez (dnes asi u  $3,7 \div 3,9 \mu\text{m}$ ), ale proti němu stojí optické důvody. I ideální objektiv bez optických vad zobrazuje v důsledku ohybu světla na jeho otvoru bod objektu ve tvaru tzv. ohybové plošky (obr. 9), jejíž průměr závisí jen na clonovém čísle. Aby průměr rozptylového kroužku nepřekročil velikost snímací plošky, nesmí být clonové číslo větší, než 0,8-násobek jeho rozměru v  $\mu\text{m}$ . Sní-



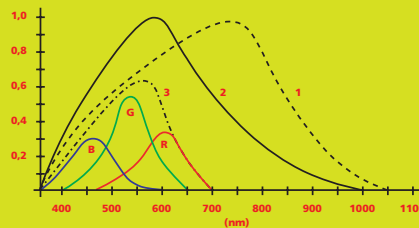
Obr. 9. Rozložení energie v obrazu bodu ideálním objektivem bez optických vad, působené ohybem světla na jeho otvoru.



Obr. 10. Modelování průběhu signálu čárového testu na snímacím obvodu s různým poměrem počtu obrazových elementů na element čárového rastru.



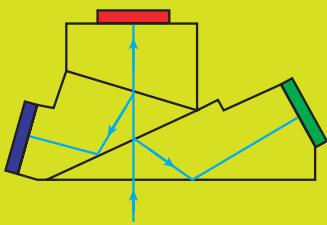
Obr. 11. Vztah rozměru snímacích elementů (6 a 8  $\mu\text{m}$ ) k zrnu fotografické vrstvy a čárovým rastřům různé prostorové hustoty.



Obr. 12. Spektrální závislosti: 1 - citlivost elementů obvodu CMOS, 2 - citlivost elementů obvodu CCD, 3 - průběh po odfiltrování infračervené složky, R, G, B - průběhy s jednotlivými filtry.

mací element o rozměru 13  $\mu\text{m}$  dovoluje clonit asi do 11; 5  $\mu\text{m}$  asi do 4. Další clonění zhoršuje ostrost zobrazení. Snižování rozměrů citlivé plošky snímacího obvodu a to,

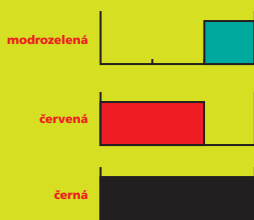
# Reklama



Obr. 13. Dělení obrazového svazku na hranolech s dělicími barevnými filtry na tři samostatné snímací obvody.



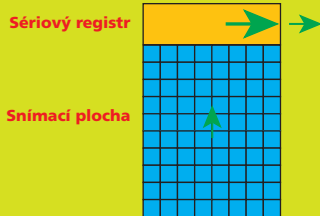
Obr. 14. Některé kombinace aditivních a subtraktivních filtrů (O - bez filtru) a výsledné hodnoty jimi získaného signálu.



Obr. 15. Příklad spektrálního průběhu subtraktivního filtru, propouštějícího 2/3 energie spektra a doplňkového aditivního filtru, propouštějícího jen 1/3; spolu nepropouštějí světlo.



Obr. 16. Prokládaný CCD čip.



Obr. 17. Neprokládaný CCD čip.

že nevyplňuje zcela plochu, vede k nutnosti předřazovat před citlivé elementy čoko-  
vý rastr (obr. 2 a 3). Ten však může omezo-  
vat úhel, ve kterém dopadá světlo na  
element a tím i zmenšování clony.  
Rozlišení podrobností je na rozdíl od ná-  
hodného rozložení citlivých elementů fo-  
tografické vrstvy závislé na velikosti a pra-  
videlnosti rozložení citlivých elementů.

U fotografické vrstvy je nutno vlastnosti měřit, pro digitální zobrazení je lze popsat matematicky. Lze například výpočtem nalézt charakteristiku přenosu kontrastu, ukazující závislost kontrastu zobrazení na hustotě zobrazených proužků sinusového průběhu. Rozbor i měření ukazuje, že pro zobrazení jednoho elementu čárového testu (čára a mezera) je třeba alespoň tři elementů snímacího obvodu (obr. 10). Zjednodušené vztahy některých veličin pro snímací elementy o rozměru 8 a 6  $\mu\text{m}$  jsou na obr. 11. Pravouhlý tvar fotocitlivé plošky snímacího obvodu má vliv na rozdílné směrové rozlišení, což by se neprojeвило u elementu kruhového tvaru.

Ze změřeného souboru dat lze jejich mezi-  
lehlé hodnoty vypočítat interpolací, pro  
což existují ověřené matematické postupy.  
Interpolací lze tedy uměle zvýšit i počet  
snímacích plošek vložením mezilehlých vy-  
počítaných hodnot. Nezískává se tím sice  
nová informace, výjimečně může docházet  
i k jejím zkresení, avšak vyšší hustota bodů  
uspokojí lépe zrakové vnímání. Volbou  
vhodných postupů interpolace a jejím vyu-  
žitím v rozumných mezích lze zlepšit vizu-  
ální vjem obrazu.

Citlivost k barvám je u snímacích obvodů  
dána spektrální citlivostí křemíku, jejíž mez  
leží v infračervené oblasti spektra, pomě-  
rně daleko od viditelného rozsahu (obr. 12).  
Je proto třeba odstranit infračervenou část  
filtrem před obvodem. Jednotlivá barevná  
pásma citlivosti v červeném (R), zeleném (G)  
a modrém (B) se získají barevnou filtrací. Fil-  
try lze zařazovat postupně a soubor dat  
RGB tak získat třemi snímky, při řádkova-  
cích (skenovaných) postupech snímání se  
využívá tří snímacích obvodů s příslušnými  
filtry. Soustavy se třemi obvody a optickým  
dělením obrazu (obr. 13) se aplikují v pro-  
fesionálních televizních kamerách, ve  
statické fotografii jen výjimečně. Jediným  
obvodem lze snímat hodnoty RGB předřa-  
zením mozaikového filtru, jehož jednotku  
tvorí čtyři prvky (pixel) snímacího obvodu.  
Nejužívanějším způsobem uspořádání  
těchto filtru je tzv. Bayerovo schema  
(obr. 14), se dvěma zelenými a po jednom  
červeném a modrém filtru. Všechny hod-  
noty RGB pro každý snímací element (pi-  
xel) se získají interpolací, pravidelně s vyu-  
žitím větší skupiny (např. 4 x 4) snímacích  
elementů, aby se věrněji reprodukoval prů-  
běh barevných hodnot signálu. Každý adi-  
tivní filtr R, G, B pohlcuje 2/3 spektra  
(obr. 15), zatímco subtraktivní filtry jen 1/3,  
proto je signál pod nimi vyšší a taková fil-  
trace přispívá k zlepšení poměru signálu  
k šumu. Některé příklady s převody na sig-  
nál RGB jsou na obr. 14.

Rozdílná je také konstrukce čipů, rozlišuje-  
me čipy prokládané a neprokládané. Pro-  
kládané čipy (obr. 16) snímají pouze 50 %

plochy čipu, zbylých 50 % obrazu je získá-  
váno dopočetním. Jejich výhoda spočívá  
v možnosti více rychlých expozicí za sebou.  
Neprokládané čipy (obr. 17) dávají 90-  
-100 % obrazu (něco zaberou nutné meze-  
ry mezi jednotlivými snímacími elementy).  
Dávají kvalitnější obraz, ale neumožňují ex-  
ponovat rychle za sebou.

Výroba snímacích obvodů CCD je značně ná-  
ročná, vyžaduje až 350 dílčích operací, klade  
vysoké požadavky na bezporuchovost kře-  
míkové destičky, na které se formuje. Proto  
se cena obvodu podílí 20 až 30 % na ceně  
digitálního fotografického přístroje. Napá-  
jení potřebuje několik úrovní o vyšším na-  
pětí, než běžné polovodičové obvody, mi-  
moto je třeba generovat složitý průběh  
posouvacích napětí (obr. 4). Některé tyto  
nevýhody nemá snímací obvod CMOS (Com-  
plementary Metal-Oxide-Semiconductor),  
z jehož snímacích elementů se odvádí náboj  
křížovými vodiči, takže je možný libovolný  
přístup ke každému snímacímu elementu  
nebo jejich skupině. Fotodioda je připojena  
k vodičům spínacím tranzistorem, nebo ze-  
silovačem. Tyto obvody snižují velikost plo-  
chy snímacího fotoelementu. Napájení je  
stejně, jako u polovodičových obvodů.  
Technologicky je možno celou elektroniku  
kamery formovat se snímacím obvodem na  
jednom čipu, a tím dosahovat výrazné mini-  
aturizace. Některé vlastnosti snímacích ob-  
vodů CMOS (vyšší šum, omezený počet sním-  
acích elementů) umožňuje zatím jejich  
využití v méně náročných aplikacích, kde se  
uplatní i jejich výrazně nižší výrobní náklady  
(až 1/5 nákladů na obvod CCD).

Základní rozdíly mezi fotografickou vrstvou  
a snímacím obvodem CCD spočívají v ná-  
hodném uspořádání citlivých elementů ve  
fotografické vrstvě ve srovnání s uspořá-  
dáním elementů snímacího obvo-  
du. V digitální fotografii je oddělen záznam  
obrazové informace od měniče obrazu na  
zapisovaný signál, ve fotografii jsou obě  
funkce sloučeny ve fotografické vrstvě. Oba  
tyto postupy mají své výhody i nevýhody.  
Expoziční pružnost digitálního záznamu je  
omezenější, než fotografického, stejně jako  
možnost snímat s vyšší citlivostí. Naproti to-  
mu digitální záznam umožňuje kompenzaci  
vlivu barvy světla, což je v barevné fotogra-  
fii složitější. Podstatný rozdíl mezi oběma  
způsoby je v možnosti bezztrátového mno-  
žení digitálně získané informace a jejího  
mnohostranného, poměrně snadného zpra-  
cování. Přenos fotografického snímku je na  
rozdíl od digitálního obrazu složitý.

Zajímají-li vás další technické detaily k této  
problematice naleznete je v časopisech  
Jemná mechanika a optika (11-12/99, 2, 3,  
9/2000) a Sdělovací technika (4/98, 4,  
9/2000).

Milič Jiráček,  
redakčně upravil Jan Tippman.